

## ردیابی منابع گرد و غبار سطوح مختلف جو سنتدج با استفاده از مدل HYSPLIT به منظور مدیریت مخاطرات محیطی

برومند صلاحی<sup>۱</sup>

دکترای تخصصی اقلیم شناسی، مدرس گروه جغرافیای طبیعی، دانشگاه محقق اردبیلی، اردبیل، ایران  
احمد نوحه گر

استاد ژئومورفولوژی، دانشکده محیط زیست، دانشگاه تهران، تهران، ایران

محمود بهروزی

دانشجوی دکتری اقلیم شناسی، دانشگاه ملایر، ملایر، ایران  
تاریخ دریافت: ۱۳۹۶/۱۱/۱۶ تاریخ پذیرش: ۱۳۹۷/۱۲/۱۲

### چکیده

در این پژوهش به منظور ردیابی گرد و غبار در سنتدج، ابتدا رخدادهای توفان گرد و غبار در دوره آماری ۲۴ ساله (۱۹۹۰-۲۰۱۳) میلادی) از داده‌های هواشناسی استخراج و به صورت آماری بررسی شد. در ادامه، یک رخداد گرد و غبار که در نیمة گرم سال اتفاق افتاده و به مدت ۱۰ روز طول کشیده بود انتخاب و با استفاده از مدل HYSPLIT ذرات غبار در اتمسفر ردیابی شد. سپس به منظور واکاوی رخداد توفان‌های گرد و غبار در سنتدج به صورت کلان‌مقیاس از علم همدید و به صورت میان‌مقیاس از علم دینامیک بهره گرفته شد. نتایج نشان داد که تعداد توفان‌های گرد و غبار در سنتدج سیر صعودی داشته و هر ساله بر تعداد این رخدادها افزوده می‌شود؛ اوج آن‌ها در فصل بهار و تابستان بوده و در خردادماه بیشترین توفان اتفاق افتاده است. خروجی‌های مدل HYSPLIT نشان داد که در توفان گرد و غبار، ذرات غبار از سمت بیابان‌های سوریه و شمال عراق وارد اتمسفر سنتدج شده‌اند و صحرای عربستان نقشی در آن نداشته و هم‌چنین ذرات غبار در سطوح ۵۰۰، ۱۰۰۰ و ۱۵۰۰ از یک مسیر و آن‌هم از سمت سوریه و شمال عراق وارد سنتدج شده است. بررسی نقشه‌های تراز ۷۰۰ ژئوپیتاپیل متر و فشار سطح زمین نشان داد صعود ترازهای میانی جو به ارتفاعات بالاتر باعث تشکیل پشته در عرض‌های پایین جغرافیایی شده و اتمسفر ایران، سوریه و عراق در سیطره پرفشار جنب حاره بوده که این شرایط موجب تشکیل سیستم کم‌فارش حرارتی سطوح پایین اتمسفر شده و موجب صعود هوا شد.

**واژگان کلیدی:** گرد و غبار، ردیابی، مدل HYSPLIT سنتدج

## مبانی نظری و پیشینه تحقیق

یکی از مهم‌ترین بحران‌ها و مشکلات زیست‌محیطی در اغلب مناطق خشک و نیمه‌خشک، رخداد پدیده خطرناک بیابان‌زایی است که وقوع توفان‌های گرد و غبار و حرکت ریزگردها را به دنبال دارد (طوفان، ۱۳۸۹: ۹۴۳). گرد و غبارها عمدتاً در مناطق خشک و نیمه‌خشک رخ می‌دهند و جزئی از ویژگی‌های اقلیمی آن‌ها محسوب می‌شود. بر اساس تعریف سازمان هواشناسی جهانی، هرگاه در ایستگاهی سرعت باد از ۱۵ متر بر ثانیه بیشتر شده و دید افقی به‌واسطه وجود ذرات گرد و غبار به کمتر از یک کیلومتر بر سر، توفان گرد و غبار گزارش می‌شود (مفیدی و کمالی، ۱۳۹۱) (گودی و میدلتون، ۲۰۰۶). هنگامی که خشکی طولانی مدت حاکم بوده و سطح خاک کاملاً خشک باشد و نیز کمبود رطوبت سبب ناپایداری هوا گردد توفان‌های بزرگ پدیدار خواهند شد (محمدی و همکاران، ۱۳۹۴: ۳۹؛ ایجاد گرد و غبار در حقیقت نوعی واکنش به تغییرات گسترده‌ی پوشش گیاهی زمین است (انگلستاندلر، ۲۰۰۱). شدت و سرعت باد، خشک بودن هوا و مشخصات ذرات، نقش مهمی در وقوع توفان‌ها دارند (علیجانی، ۱۳۷۶). سرعت باد و جریان‌های شدید لایه زیرین تروپوسفر از عوامل مهم در رخداد توفان‌های گرد و غبار است (لشکری و کیخسروی، ۱۳۸۷: ۱۷).

ذرات گرد و غبار هنگام طی مسافت‌های طولانی، تحت تأثیر فرایندهای فیزیکی و شیمیایی، با ذرات آلانده دیگر ترکیب شده و ترکیبات جدیدی را پدید می‌آورند که به‌نوبه‌ی خود می‌توانند خطرناک باشند. این مواد سمی حمل شده با ذرات غبار می‌توانند با نشستن روی پوست و ورود به مجاری تنفسی موجبات آسیب‌های پوستی و ریوی زیادی را فراهم کنند (گودی و میدلتون، ۲۰۰۶). گرد و غبار اثر عمداتی بر اقلیم دارد و می‌تواند بر روی دما، جذب و پخش تابش (با تغییر در تابش موج کوتاه و بلند) اثر بگذارد (عزیزی و همکاران، ۱۳۹۱: ۱۰۳).

در سال‌های اخیر، شناسایی منابع گرد و غبار مورد توجه پژوهشگران قرار گرفته است. مناطق غرب و جنوب غرب ایران به‌طور متناوب با پدیده گرد و غبار دست و پنجه نرم می‌کند. در غرب ایران مناطق بیابانی همچون بیابان‌های جنوب عراق و عربستان سعودی و در فاصله دورتر سوریه و شمال آفریقا قرار دارد. موقعیت جغرافیایی خاص نیمة غربی ایران و مجاورت آن با بیابان‌های جنوب عراق و عربستان سعودی و نیز شمال آفریقا باعث وقوع مکرر توفان گرد و غبار در طول سال می‌شود. وقوع خشکسالی در جنوب غرب ایران و کشور عراق و به تبع آن کاهش رطوبت سطحی و زیرسطحی خاک و نیز از بین رفتن پوشش گیاهی در این مناطق از مهم‌ترین عوامل ایجاد و تشديد گرد و غبار است. احداث سدهای عظیم بر روی رودخانه‌های متنه‌ی به حوضه آبریز بین‌النهرین به عنوان عوامل انسانی از دیگر عوامل تأثیرگذار بر وقوع پدیده گرد و غبار است.

پژوهشگران زیادی به بررسی توفان‌های گرد و غبار پرداخته‌اند. ویهونگ و همکاران (۲۰۰۱: ۲۳۲۷) با استفاده از نقشه‌های هوا در ترازهای ۸۵۰ و ۱۰۰۰ هکتارپاسکال، توفان‌های گرد و غبار در چین را مورد بررسی قرار دادند. انگلستاندلر (۲۰۰۱) معتقد است بستر دریاچه‌ها و صحرای بزرگ آفریقا تولیدکنندگان اصلی توفان‌های گرد و غبار در جهان هستند. وانگ (۲۰۰۵) سیستم‌های همیدید مؤثر در تشکیل توفان‌های گرد و غبار شمال شرق آسیا را مورد بررسی قرار داد. اسکوکورو و همکاران (۲۰۰۶) با استفاده از مدل HYSPLIT به واکاوی توفان‌های وارد شده به

اسپانيا با منشأ صحراى آفريقا پرداختند. دراکسلر و همكاران (۲۰۰۹: ۱) مسیريابي توفانهای گرد و خاکی عراق و کويت را با مدل HYSPLIT انجام دادند.

عبدی ويشكایه و همكاران (۲۰۱۱: ۱۱۶) با تحليل انتشار گرد و غبار و منشأ آن در تابستان ۲۰۰۷ بر روی شمال غرب ايران با استفاده از مدل HYSPLIT ثابت کردند که منابع گرد و غبار ايران در ماه اوت از سوريه، عراق و درياچه نمک در نزديکی دشت کوير ايران است. مفيدی و جعفری (۱۳۹۰: ۱۷) معتقدند که تراف موج بادهای غربی، سبب انتقال گرد و غبار به مناطق جنوب غرب اiran است. اشرفی و همكاران (۱۳۹۰: ۲۶) در بررسی مسیر توفانهای گرد و غبار بر فراز اiran از مدل HYSPLIT استفاده نمودند. محمدی حسين زاده و مراديان (۱۳۹۴: ۳۵) از طريق پردازش تصاویر ماهواره‌ای موديس، پدیده گرد و غبار برای دوره آماری ۲۰۰۹ تا ۲۰۱۳ در شهر مشهد را انجام دادند. محمدی و همكاران (۱۳۹۴: ۳۹) منابع ايجاد گرد و غبار در سطوح مختلف هوای تهران را با استفاده از مدل HYSPLIT رديابي کردند. علىآبادی و همكاران (۱۳۹۴) منابع اصلی توفانهای گرد و غباری غرب و شمالغرب اiran را با بهره‌گيری از مدل لاگرانژيني HYSLIT و با استفاده از روش رديابي پسگرد تعين کردند. عليجانی و رئيس پور (۱۳۹۰)، قويدل رحيمی (۱۳۹۰)، اشرفی و همكاران (۱۳۹۲)، آروين و همكاران (۱۳۹۲)، مفيدی و همكاران (۱۳۹۲)، طاووسی و زهرايی (۱۳۹۲)، چان و همكاران (۲۰۰۱) و پروسپرو و همكاران (۲۰۰۲) نيز در مطالعات خود به شاخص‌های ناپايداري و تحليل توفانهای گرد و غبار پرداختند.

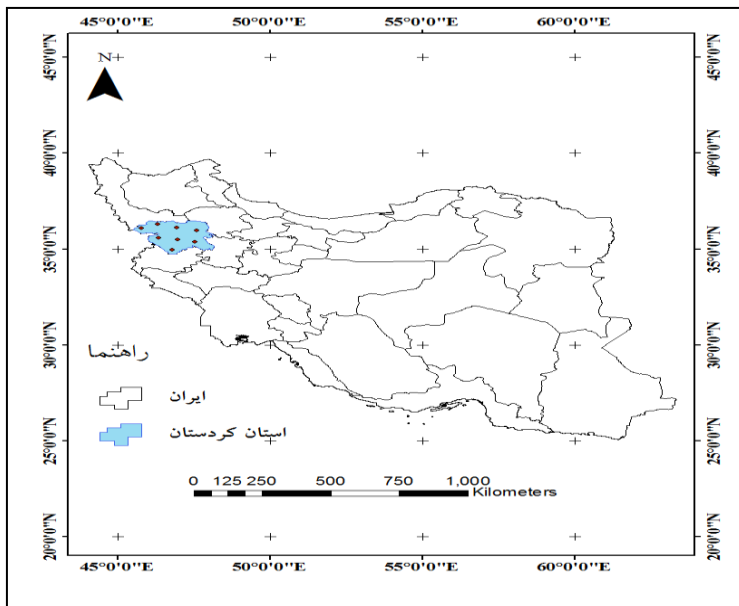
گسترش وسیع مكانی پدیده گرد و غبار در سال‌های اخیر در بخش‌های غربی و شمالی اiran ضرورت انجام این تحقیق را دوچندان می‌کند. با انجام تجزیه و تحلیل داده‌های آماری طولانی مدت پدیده گرد و غبار و شناسایی مناطق منشأ و مسیرهای ورودی آن و نيز پيش‌بياني زمان وقوع گرد و غبار می‌تواند اهمیت زیادی در برنامه‌ریزی‌های منطقه‌ای و ناحیه‌ای و ايجاد آمادگی برای مقابله با اثرات آن داشته باشد. استان کردستان در مسیر ورود گرد و غبار از سمت بیابان‌های عراق و سوریه است و این منطقه از کشور در سال‌های اخیر با این پدیده اقلیمی دست به‌گریبان است و در این پژوهش سعی بر این است با شناخت مسیر حرکت گرد و غبار به سند، اطلاعات مفيدی در اختیار برنامه‌ریزان محیطی قرار بگیرد.

## مواد و روش تحقیق

استان کردستان با اقلیم نیمه‌خشک و مدیترانه‌ای در بین ۳۴ درجه و ۴۴ دقیقه تا ۳۶ درجه و ۳۰ دقیقه عرض شمالی و ۴۵ درجه و ۳۱ دقیقه تا ۴۸ درجه و ۱۶ دقیقه طول شرقی از نصف‌النهار گرینویچ با وسعت ۲۸۲۰۳ کيلومترمربع قرار دارد. اين استان در غرب کشور اiran و در بين استان‌های آذربایجان غربی، زنجان، همدان و کرمانشاه قرار دارد و از غرب با کشور عراق هم‌مرز می‌باشد (شکل ۱). سندنج در ۴۷ درجه طول شرقی و ۳۵ درجه و ۲۰ دقیقه عرض شمالی با ارتفاع ۱۳۷۳/۴ متر از سطح دریا مرکز سیاسی - اداری استان کردستان است (حنفي و حاتمي، ۱۳۹۲: ۲۴).

در اين پژوهش، به منظور بررسی توفانهای گرد و غبار در ايستگاه سندنج، ابتدا کدهای هواشناسی مربوط به گرد و غبار (کدهای ۰۶، ۰۷، ۰۹، ۳۰، ۳۱، ۳۲، ۳۳، ۳۴ و ۳۵) در بازه زمانی ۲۴ ساله (۱۹۹۰-۲۰۱۳) از داده‌های سه ساعته سازمان هواشناسی کشور استخراج و در صفحه گسترده اکسل ذخیره شد و در ادامه وقوع توفانهای گرد و غبار به صورت روند سری زمانی سالانه، ميانگين فصلی و ماهانه بررسی شد. پس از بررسی‌های آماری، يك رخداد توفان

گرد و غبار از بین توفان‌ها انتخاب و به صورت دینامیک- همدیدی بررسی و با استفاده از مدل HYSPLIT ذرات غبار در اتمسفر ردیابی شد. روز گرد و غباری مورد بررسی به مدت ۹ روز متوالی از ۳ ژولای ۲۰۰۹ تا ۱۱ ژولای ۲۰۰۹ در جو منطقه حاکم بود.



شکل ۱: موقعیت جغرافیایی استان کردستان (منبع: نویسندهان، ۱۳۹۶)

به منظور بررسی دینامیکی توفان‌های گرد و غبار ایستگاه سنندج، از نمودار اسکیوتی و شاخص‌های ناپایداری دینامیکی از قبیل شاخص شولتر، شاخص ویتنگ، شاخص بالاروی، خط تراکم بالارونده و شاخص مجموع مجموع‌ها استفاده شد. به منظور بررسی همدیدی توفان‌های گرد و غبار ایستگاه سنندج، از نقشه‌های جوی سطوح هم‌فشاری و داده‌های روزانه باز تحلیل شده مرکز محیطی<sup>(۱)</sup> (NCEP) استفاده شد. داده‌های روزانه فراسنج‌های اقلیمی مؤثر در رخداد این پدیده از قبیل شیوه افقی فشار تبدیل شده به سطح دریا، میدان ژئوپتانسیل تراز ۷۰۰ هکتوپاسکال، سرعت قائم هوا (امگا)، بردار حرکتی باد و نم ویژه از پایگاه داده‌های NCEP/ NCAR استخراج و نقشه‌ها در محیط پردازشی<sup>(۲)</sup> GRADS<sup>(۳)</sup> ترسیم شدند.

در این پژوهش، از مدل HYSPLIT برای ردیابی ذرات معلق گرد و غبار اتمسفری استفاده شد. این مدل، مدلی دوگانه برای محاسبات خط سیر حرکت گرد و غبار است<sup>(۴)</sup> (دراکسلر و همکاران، ۲۰۰۹: ۱). در این مدل با استفاده از حداقل پارامترهای هواشناسی در محاسبه مسیر و غلظت آلینده بهره گرفته می‌شود (اسکودرو و همکاران، ۲۰۰۶). روش محاسبه مدل، ترکیبی میان دیدگاه‌های اویلری و لاگرانژی است<sup>(۵)</sup> و به همین دلیل HYSPLIT را مدلی دوگانه می‌نامند (شان و همکاران، ۲۰۰۹: ۷۶۷).

1 - National Center for Environmental Prediction

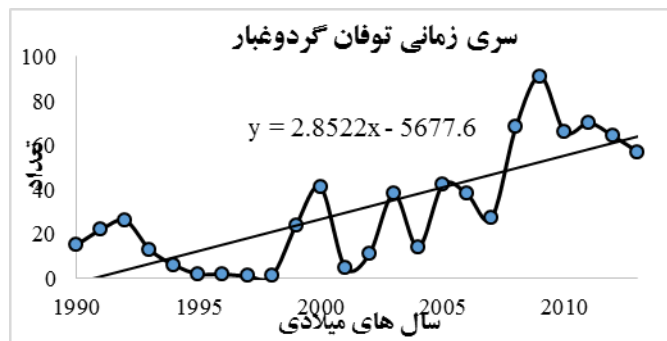
2 - Grid Analysis and Display System

3 - <http://climatology.ir/?p=11379>

4 - <http://iaca.mihanblog.com/post/1994>

### یافته‌های تحقیق

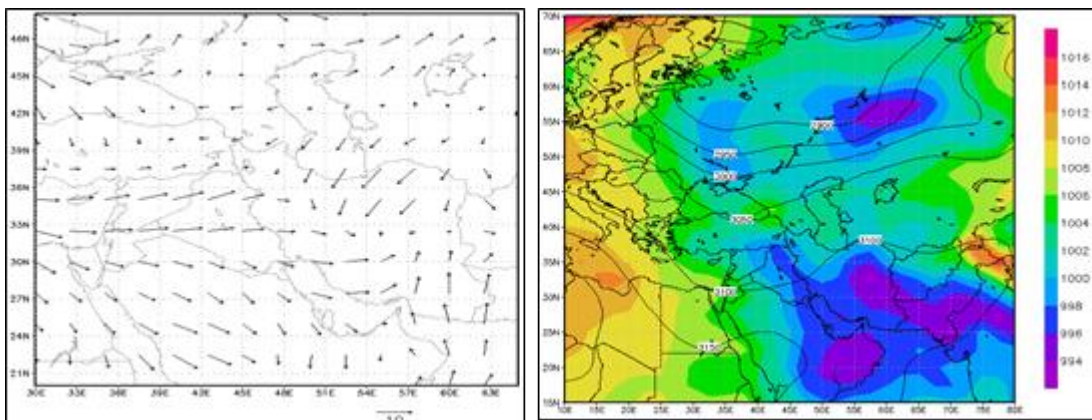
نتایج حاصل از بررسی‌های آماری نشان می‌دهد که در طول بازه زمانی ۲۴ ساله (۱۹۹۰-۲۰۱۳)، ۷۴۴ روز در ایستگاه سنتدج توفان گرد و غبار رخ داده و سیر صعودی داشته است، به طوری که سال به سال بر وقوع این توفان‌ها افزوده شده و تا سال ۲۰۰۰ سال‌های مشاهده شد که گرد و غبار حتی یکبار هم اتفاق نیفتاده بود، اما از سال ۲۰۰۰ به بعد در هر سال رخداد توفان‌ها مشاهده شد و کمترین آن در سال ۲۰۰۱ بود که ۵ بار توفان اتفاق افتاد و بیشترین آن در سال ۲۰۰۹ که ۹۱ روز توفان گرد و غبار در ایستگاه سنتدج گزارش شد (شکل ۲). بر اساس داده‌های هواشناسی سه ساعته ایستگاه سنتدج در طول دوره آماری ۲۴ ساله، ۷۰۰۸۰ بار داده‌های هواشناسی گزارش شده که از این تعداد، ۲۷۸۵ بار آن کدهای مربوط به گرد و غبار بود و بیشترین کد هواشناسی مربوط به گرد و غبار در سال ۲۰۰۹ بوده که ۴۴۸ بار کد هواشناسی گرد و غبار گزارش شد.



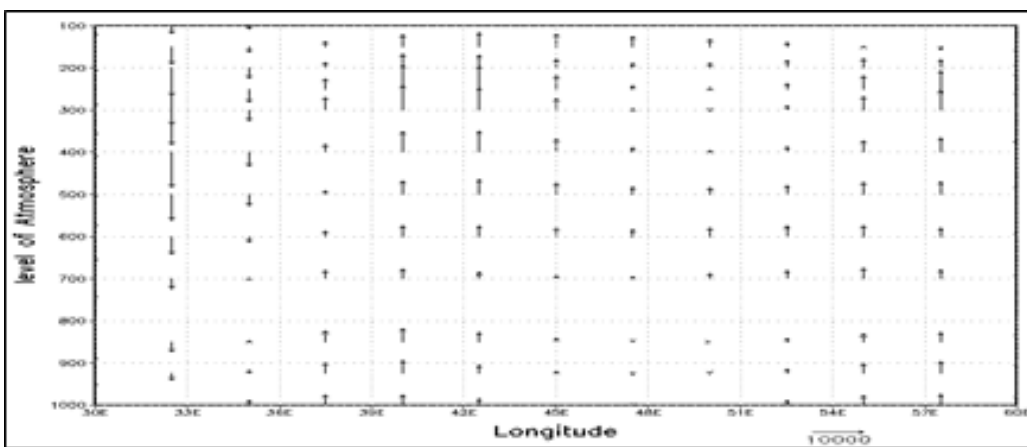
شکل ۲: روند و سری زمانی توفان‌های گرد و غبار سنتدج در بازه زمانی ۱۹۹۰-۲۰۱۳ (منبع: نویسندهان، ۱۳۹۶)

در تابستان سال ۲۰۰۸ میلادی (۱۳۸۷ خورشیدی)، توفان گرد و غبار با دوام ۱۲ روزه در اوخر ماه می (اردیبهشت-ماه) و اوایل ماه ژوئن (خردادماه) در غرب ایران اتفاق افتاد (۲۴ می تا ۰۴ ژوئن) که اتمسفر تمام استان‌های غربی ایران را آلوده کرد. در این مطالعه، شرایط اتمسفری دخیل در این رخداد که اتمسفر ایستگاه سنتدج را فرا گرفته بود، بررسی شد. در ماه ژولای سال ۲۰۰۹ توفان گرد و غبار در ایستگاه سنتدج در روزهای بین ۳ تا ۱۱ ژولای گزارش شد که ذرات غبار به مدت ۹ روز در اتمسفر استان کردستان معلق بود. در شکل ۳، نقشه تراز ۷۰۰ ژئوپتانسیل متر به صورت کنتور و فشار سطح دریا به صورت رنگی برای روز ۵ ژولای ۲۰۰۹ نشان داده شده است. با توجه به گرمایش اتمسفر نیمکره شمالی در فصل تابستان، پرفشار جنب حاره آзор به سمت عرض‌های بالاتر جغرافیایی حرکت کرده و در این روز از سال حتی به عرض ۴۵ درجه شمالی نیز رسیده و جنوب ایتالیا و خاورمیانه را تحت تأثیر قرار داده است. منحنی تراز ۳۱۰۰ دکامترا کل ایران را در بر گرفته است و ارتفاع بیشتر تراز ۷۰۰ ژئوپتانسیل متر در ایران نشان از پایداری اتمسفر در ایران دارد. موج بادهای غربی با پیشروی پرفشار آзор به سمت عرض‌های بالاتر عقب‌نشینی کرده و در عرض‌های بالاتر از ۴۵ درجه شمالی و در غرب و مرکز روسیه موجب تشکیل ناوه کم-ارتفاعی شده است. توپوگرافی منحنی‌های تراز ۷۰۰ ژئوپتانسیل متر اتمسفر سطوح زیرین خود را تحت تأثیر قرار داده؛ به طوریکه پرفشار آзор در شمال آفریقا و دریای مدیترانه منجر به تشکیل پرفشار فشار دینامیکی قوی با مرکزیت ۱۰۱۴ میلی بار در دریای مدیترانه شده است؛ اما ورود زبانه‌های پرفشار آзор به ایران اتمسفر سطوح بالایی را پایدار کرده و هیچ‌گونه حرکات عمودی در جو مشاهده نمی‌شود. با این وجود به دلیل گرمایش سطوح زیرین

جو، در سطح زمین کم‌فشار حرارتی قوی با مرکزیت ۹۹۴ میلی بار در ایران تشکیل شده است. در عرض‌های بالاتر، استقرار ناوه در روسیه موجب تشکیل پرفشار دینامیکی در عقب ناوه و کم‌فشار دینامیکی در جلوی ناوه شده است. شرایط فشار در سطح زمین به گونه‌ای شده که در طول جغرافیایی بین ۱۰ تا ۴۰ درجه شرقی، پرفشار دینامیکی آزور در عرض‌های پایین و پرفشار دینامیکی شمال اروپا در عرض‌های بالاتر تداخل یافته و موجب واگرایی و خروج شدید بادها از این مراکز پرفشار به سمت شرق شده است؛ اما از طول جغرافیایی ۴۰ تا ۸۰ درجه شرقی، کم‌فشار حرارتی ایران مرکزی با کم‌فشار دینامیکی روسیه تداخل یافته و منجر به همگرایی و ورود بادها از اطراف به این مراکز شده است. در خاورمیانه، هر چه به سمت شرق و ایران حرکت کنیم از مقدار فشار هوا کاسته شده تا به ایران مرکزی برسد که کمترین فشار را در منطقه دارد و این شرایط موجب حرکت بادها از پرفشار دینامیکی شمال آفریقا و دریای مدیترانه به سمت ایران شده است. شکل (۳) نقشه حرکت بادها در تراز ۱۰۰۰ ژئوپتانسیل متر را نشان می‌دهد و در نقشه نیز جهت بادها به گونه‌ای است که بادها با شدت زیاد با خروج از دریای مدیترانه و آفریقا از بیابان‌های اردن، سوریه و عراق عبور کرده و وارد ایران شده‌اند. بررسی‌های انجام شده نشان داد که در یک ماه اخیر هیچ‌گونه بارشی در منطقه رخ نداده و سطوح بیابان‌های مذکور خشک و عاری از هرگونه رطوبت سطحی می‌باشد و این شرایط منجر به انفال ذرات خاک سطحی این بیابان‌ها شده است. عبور بادهای قوی از روی این بیابان‌ها، ذرات خاکی سطحی را برداشته و با خود به مسافت‌های طولانی حمل کرده است و مسیر ورود این ذرات غبار معلق در بادهای قوی، غرب ایران است و استان‌های کردستان، کرمانشاه، ایلام و خوزستان اولین مناطقی هستند که تحت تأثیر توفان گرد و غبار قرار گرفته‌اند. شکل (۴) جریان بالاسو و پایین‌سو بادها را برای عرض جغرافیایی ثابت ۳۵ درجه شمالی نشان می‌دهد و در نقشه پیکان‌های باد نوع حرکات عمودی باد را در ارتفاعات مختلف جو نشان می‌دهد. در طول جغرافیایی ۳۰ تا ۳۶ درجه شرقی به دلیل وجود پرفشار آزور حرکات پایین‌سو و نزولی باد دیده می‌شود اما از عرض ۳۶ تا ۸۰ درجه شرقی به دلیل استقرار سامانه کم‌فشار حرارتی ایران مرکزی، بادها حرکات بالاسو و صعودی دارد. عبور بادهای قوی از روی بیابان‌های سوریه و عراق، خاک سطحی را حمل کرده و به سمت ایران حرکت کرده و با توجه به حالت همگرایی جو در ایران، ذرات غبار معلق در جو به سطوح بالاتر اتمسفر در غرب ایران انتقال یافته است.



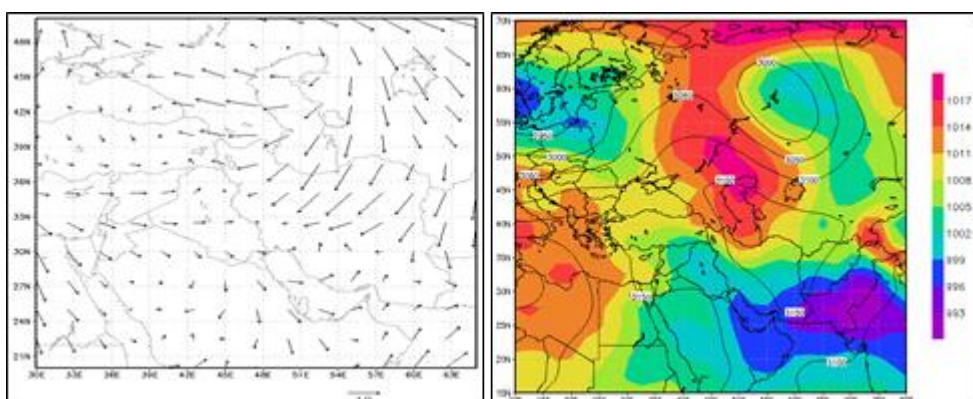
شکل (۳) تراز ۱۰۰۰ ژئوپتانسیل متر (کتور) و فشار سطح زمین (رنگی) روز ۵ ژولای ۲۰۰۹ و وزش باد تراز ۱۰۰۰ ژئوپتانسیل متر روز ۵ ژولای ۲۰۰۹ (منبع: نویسنده‌گان، ۱۳۹۶)



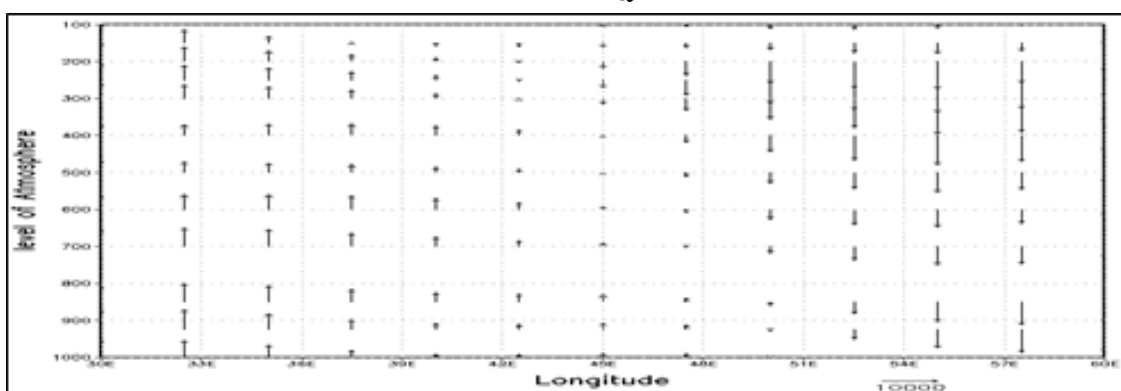
شکل ۴) حرکات بالاسو و پایینسو باد برای عرض جغرافیایی ۳۵ درجه شمال (ایستگاه سنتنگ) در روز ۵ ژولای ۲۰۰۹

(منبع: نویسنده‌گان، ۱۳۹۶)

سه روز بعد در تاریخ ۸ ژولای ۲۰۰۹ که همچنان ذرات گرد و غبار در اتمسفر غرب ایران معلق بود، در تراز ۷۰۰ ژئوپتانسیل متر (شکل ۵) پرفشار آزور قوی‌تر شده و تا عرض جغرافیایی ۵۰ درجه شمالی نیز امتداد یافته است و بادهای غربی به عرض‌های بالاتر پسروی کرده است. به طور کلی، بر ارتفاع ترازهای میانی جو افروده شده و در ایران منحنی ۳۱۰۰ دکامتر سه روز پیش به عرض‌های بالاتر حرکت کرد و جای خود را به ارتفاع ۳۱۵۰ دکامتر داد و این منحنی در ایران بسته شده و به پشتی تبدیل است. در عرض‌های بالاتر در ناوه سه روز قبل منحنی ۳۰۰۰ دکامتری بسته شده و به صورت بریده کم‌فارش درآمده است. ناوه کم‌فارش دیگری در شمال اروپا تشکیل شده است. این شرایط فشار در تراز ۷۰۰ ژئوپتانسیل متر اتمسفر سطوح زیرین را متأثر ساخته و پرفشار دینامیکی سطح زمین در شمال آفریقا و دریای مدیترانه قوی‌تر شده و فشار مرکزی آن به ۱۰۱۷ میلی بار رسیده است و این موجب عقب‌نشینی کم‌فارش حرارتی ایران مرکزی به سمت پاکستان شده است. کم‌فارش دینامیکی روسیه به سمت شرق حرکت کرده و جای خود را به پرفشار دینامیکی داده است که در عقب سردچال (بریده کم‌فارش) قرار دارد. زبانه‌های پرفشار مدیترانه و شمال آفریقا با زبانه‌های پرفشار دینامیکی روسیه در دریای سیاه و ترکیه به هم متصل شده و منجر به واگرانی شدید بادها در این مراکز پرفشار شده است. گرادیان شدید فشار در ایران و کشور عراق موجب تشدید بادهای سطحی در منطقه شده است و بادها با خروج از مرکز پرفشار آفریقا و دریای مدیترانه به سمت شرق حرکت کرده و با عبور از بیابان‌های سوریه و شمال عراق، ذرات خاک سطحی را حمل کرده و به صورت توفان گرد و غبار در غرب ایران مشاهده شد. در پرفشار روسیه که تا شمال دریای خزر نیز امتداد یافته است، بادها با عبور از دریای خزر و رشته‌کوه البرز با مسیر شمال شرقی - جنوب غربی به سمت غرب ایران حرکت کرده است و گرادیان شدید فشار و باد را در غرب ایران باعث شده است (شکل ۵). شکل ۶، بادهای بالاسو و پایینسو برای عرض جغرافیایی ثابت ۳۵ درجه را نشان می‌دهد، از طول ۳۰ تا ۴۵ درجه شرقی به دلیل وجود شرایط کم‌فارش در عراق، حرکات عمودی باد به صورت بالاسو یا صعودی است، اما در عرض‌های شرقی به دلیل نفوذ زبانه پرفشار دریای خزر و روسیه حرکات عمودی باد از نوع پایینسو یا نزولی است. در ایستگاه سنتنگ جریان بادها به صورت بالاسو بوده و بادهای حامل ذرات غبار به ارتفاعات بالاتر جو صعود کرده‌اند.

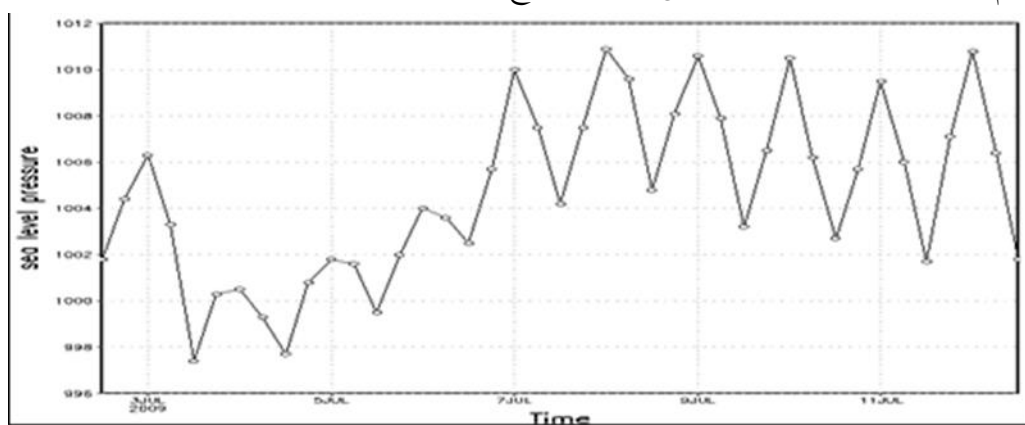


شکل ۵) تراز ۷۰۰ ژوپتانسیل متر (کنتور) و فشار سطح زمین (رنگی) روز ۸ ژولای ۲۰۰۹ و وزش باد تراز ۱۰۰۰ ژوپتانسیل متر روز ۸ ژولای ۲۰۰۹ (منبع: نویسندهان، ۱۳۹۶)



شکل ۶) حرکات بالاسو و پایین سو باد برای عرض جغرافیایی ۳۵ درجه شمال (ایستگاه سندج) در روز ۸ ژولای ۲۰۰۹ (منبع: نویسندهان، ۱۳۹۶)

مقدار فشار سطح زمین در ایستگاه سندج در طی دوره ۹ روزه تغییراتی را داشته است و شکل (۷) نشان می‌دهد در روزهای آغازین توفان گرد و غبار به دلیل وجود کم‌فشار حرارتی ایران مرکزی و نفوذ زبانه‌های آن به مناطق اطراف، فشار در ایستگاه سندج تا ۱۰۰۴ رسید اما از ۷ تا ۱۱ ژولای به دلیل نفوذ زبانه‌های پرفشار دینامیکی شمال آفریقا و دریای مدیترانه به سمت ایران و عراق، بر مقدار فشار هوای این مناطق افزوده شده و در ایستگاه سندج حتی فشار هوا به ۱۰۱۱ میلی بار نیز رسید. این تغییرات فشار در طول ۹ روز دلیل بر افزایش شدت باد در منطقه بوده که با توجه به عدم بارش و نقصان رطوبت سطحی، موجب وقوع توفان گرد و غبار در منطقه شده است.



شکل ۷) میزان فشار سطح زمین ایستگاه سندج در طی روزهای وقوع گرد و غبار ۳ تا ۱۱ ژولای ۲۰۰۹

(منبع: نویسندهان، ۱۳۹۶)

شاخص‌های ناپایداری که از نمودار اسکیوتی ایستگاه کرمانشاه محاسبه شد، ترمودینامیک جو را در طول این ۹ روز نشان می‌دهد (جدول ۱). شاخص شوالتر در این دوره ۱۰ روزه همیشه بیشتر از ۵ درجه بوده و نشان می‌دهد ناپایداری شدید همراه با توفان رعدوبرق در اتمسفر رخ نداده است. شاخص بالاروی به همراه شاخص ویتنگ و مجموع بالاروی‌ها نیز مؤید پایداری در اتمسفر غرب ایران است که دلیل این پایداری جو سطوح میانی جو پرفشار دینامیکی آзор است. به دلیل کمبود آب قابل بارش جو در طول این ۱۰ روز و تفاوت دمای شبین با دمای بسته هوا، هیچ‌گونه بارش یا توفان تندری در غرب ایران اتفاق نیفتاد و این ناپایداری هوا با توجه به خشکی هوا و همچین ذرات معلق در هوای ورودی از سمت غرب به ایران منجر به توفان گرد و غبار در ایستگاه‌های غرب ایران به خصوص در ایستگاه سنتنچ شد. تراز تراکم هوای بالارونده نیز در طول این دوره ۱۰ روزه در ارتفاعات بین ۴۵۰ تا ۶۰۰ ژئوپتانسیل متر قرار داشته است. شاخص‌های ترمودینامیکی شرایط پایداری اتمسفر در کرمانشاه را نشان می‌دهند که دلیل اصلی آن پرفشار دینامیکی آзор بوده است.

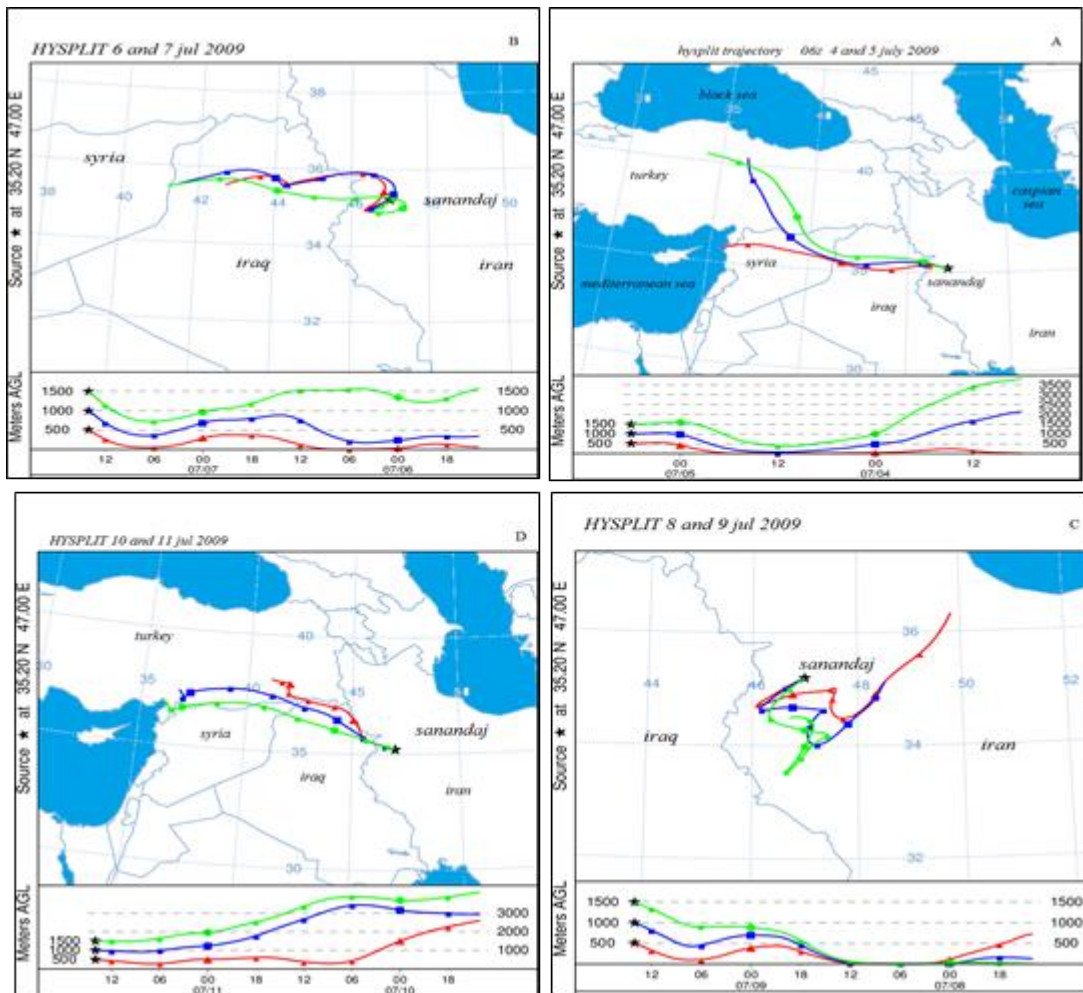
جدول ۱) شاخص‌های ناپایداری در روزهای وقوع گرد و غبار در سنتنچ (۲۰۰۹/۰۷/۱۱ - ۲۰۰۹/۰۷/۰۳)

LCL	PR	TTI	K	LI	SI	روز وقوع
۵۱۳	۵	۲۴	-۱۶	۱۵/۷	۱۵/۱	۲۰۰۹/۰۷/۱۱
۴۸۵	۸/۴	۲۶	۲/۵	۱۰/۷	۵/۱	۲۰۰۹/۰۷/۱۲
۵۳۵	۱۱/۶	۳۱	۱۲/۵	۸/۸	۹/۳	۲۰۰۹/۰۷/۱۳
۵۱۸	۸/۹	۳۴	۹/۵	۶/۸	۷/۵	۲۰۰۹/۰۷/۱۴
۵۱۳	۹/۹	۳۷	۱۳/۵	۵/۳	۶	۲۰۰۹/۰۷/۱۵
۴۱۷	۴/۹	۲۳	-۸	۹	۱۰/۲	۲۰۰۹/۰۷/۱۶
۴۹۰	۹/۵	۲۷	۱۱/۳	۵/۶	۶/۲	۲۰۰۹/۰۷/۱۷
۴۹۷	۱۰/۲	۳۶	۱۱/۷	۵/۸	۶/۶	۲۰۰۹/۰۷/۱۸
۵۹۰	۱۱/۴	۲۹	۱۱/۷	۵/۳	۵/۴	۲۰۰۹/۰۷/۱۹

منبع: یافته‌های پژوهش، ۱۳۹۶

شکل (۸) مسیر ورود ذرات غبار به ایستگاه سنتنچ در طی روزهای رخداد گرد و غبار نشان می‌دهد. در روز ۴ و ۵ ژولای، ذرات غبار در ارتفاع ۵۰۰ و ۱۰۰۰ متری در سنتنچ، ابتدا در سوریه در ارتفاع ۲۰۰۰ متری بوده اما با عبور از روی بیابان عراق به سطح زمین نزدیک شده و با تغليظ ذرات غبار در ارتفاع ۵۰۰ و ۱۰۰۰ متری وارد سنتنچ شده است. حتی ذرات غباری که در ارتفاع ۱۵۰۰ متری در سنتنچ دیده می‌شود، در بیابان عراق در ارتفاع ۵۰۰ قرار داشته و در ادامه مسیر که به سمت سنتنچ آمده، مقدار ذرات بیشتری دریافت شده و به ارتفاعات بالاتر ایستگاه سنتنچ رسیده است. در روز ۶ و ۷ ژولای ذرات غبار از شمال عراق عبور کرده و از سمت شمال وارد ایستگاه سنتنچ شده است؛ در این روزها ذرات غبار از بیابان شمال عراق وارد بادهای توفانی شده و به سمت ایران انتقال یافته است و بیابان سوریه نقشی در آن نداشته است. ذرات غبار ارتفاع ۵۰۰، ۱۰۰۰ و ۱۵۰۰ متری همه از بیابان شمال عراق حمل شده و وارد ایستگاه سنتنچ شده است؛ اما در روزهای ۸ و ۹ ژولای ذرات غبار منشأ داخلی داشته و از کرمانشاه وارد سنتنچ شده است. همانطور که در مسیر ذرات غبار نمایان است، در روز ۸ ژولای ذرات غبار از سطح زمین کرمانشاه وارد بادهای توفانی شده و به سمت سنتنچ انتقال یافته است و بیابان عراق نقشی در آن نداشته است. در نهایت، در روزهای ۱۰ و ۱۱ ژولای، کانون ذرات غبار در ایستگاه سنتنچ منشأ خارجی داشته و از سمت شمال

عراق و شرق سوریه وارد ایران شده است. تصویر ماهواره‌ای (شکل ۹) نیز مسیر شمال‌غربی-جنوب‌غربی ذرات غبار را از سمت شمال عراق نشان می‌دهد که وارد سنتنگ شده است.



شکل ۸) نقشه مسیر ذرات گرد و غبار در سنتنگ (ترسم با مدل HYSPLIT) (منبع: نویسندهان، ۱۳۹۶)



شکل ۹) تصویر ماهواره‌ای MODIS روز ۸ ژولای ۲۰۰۹ (منبع: نویسندهان، ۱۳۹۶)

### نتیجه‌گیری

رخداد گرد و غبار در ایستگاه سنتنگ سیر صعودی دارد و هر ساله بر تعداد رخداد این توفان‌ها افزوده می‌شود که عوامل مختلفی در این سیر صعودی دخیل هستند که می‌توان این دلایل را در گرمایش جهانی خلاصه کرد. در طول

سال با نزدیک شدن به فصل‌های گرم سال، توفان‌های گرد و غبار نیز افزایش می‌یابد و در ایستگاه سنتنچ توفان‌ها در بهار و تابستان به حداقل خود می‌رسند، ولی در نیمه سرد سال از رخداد این توفان‌ها کاسته می‌شود. اردیبهشت، خرداد و تیرماه که اوج گرما در ایران و خصوصاً ایستگاه سنتنچ می‌باشد، رخداد گرد و غبار نیز به حداقل خود می‌رسد که دلیل آن گرمای بیش از حد و از دست دادن رطوبت خاک سطحی و وزش بادهای گرم و خشک و عبور آن‌ها از روی بیابان عراق و سوریه می‌باشد. به منظور واکاوی علت رخداد توفان گرد و غبار در ایستگاه سنتنچ از علوم ترمودینامیک، همدید و مدل‌های دینامیکی استفاده شد و نتایج آن به خوبی شرایط اتمسفری و مسیر ذرات غبار در ایستگاه سنتنچ را نشان داد. رخداد توفان گرد و غبار که در این پژوهش بررسی شد ماندگاری هرکدام ۱۰ روز داشت. مدل خروجی HYSPLIT ذرات گرد و غبار در سنتنچ را ردیابی کرده و نشان داد که ذرات غبار در سنتنچ از سمت سوریه و شمال عراق بوده است. توفان گرد و غبار در ژولای ۲۰۰۹ واکاوی شد و نتایج این بررسی نشان داد که با عمود شدن زاویه خورشید، اتمسفر عرض‌های پایین گرم شده که موجب بالارفتن ترازهای میانی جو شده و در ایران منحنی ۳۱۵۰ ژئوپتانسیل متر بسته شده و پشتنه تشکیل شد. در غرب و شمال اروپا نیز بالارفتن تراز میانی جو باعث تشکیل پشتنه شد و در بین این دو پشتنه، ناواهای در مدیترانه تشکیل شد که حاصل ریزش هوای سرد از پشتنه اروپا بود. این شرایط باعث خشکی پرفشار دینامیکی دریای سیاه و کم‌فشار حرارتی در ایران شد که ریزش هوای سرد از سمت دریای سیاه به علت گرادیان شدید فشار به سمت ایران، بادها با عبور از بیابان شمال عراق و سوریه، باعث رخداد توفان گرد و غبار در ایستگاه سنتنچ شد. پس می‌توان نتیجه گرفت توفان گرد و غباری که در ایستگاه سنتنچ گزارش می‌شود، به علت کم‌فشار حرارتی ایران و پرفشار دینامیکی اروپاست که با عبور از بیابان‌های عراق و سوریه باعث توفان در سنتنچ می‌شود و بیابان عربستان هیچ نقشی در رخداد گرد و غبار ایستگاه سنتنچ ندارد نتایج این پژوهش با نتایج کارهای برومندی<sup>۱</sup> و همکاران (۲۰۱۷)، لی یو<sup>۲</sup> و همکاران (۲۰۰۴)، الجومایلی و ابراهیم<sup>۳</sup> (۲۰۱۳)، فرانسیس<sup>۴</sup> و همکاران (۲۰۱۷)، سیساکیان<sup>۵</sup> و همکاران (۲۰۱۳)، محمدی و همکاران (۱۳۹۴)، ریوندی و همکاران (۱۳۹۲) و مفیدی و جعفری (۱۳۹۰) که ورود توده‌های عظیم گرد و غبار از سمت شرق سوریه و بیابان‌های مرکزی عراق و رسوبات آبرفتی دجله و فرات را از یک طرف و از طرف دیگر استقرار سیستم پرفشار دریای سیاه و کم‌فشار حرارتی ایران را دلیل عمدۀ وقوع پدیده گرد و غبار در غرب و جنوب غرب ایران می‌دانند همخوانی دارد.

## منابع

asherfi, خسرو؛ شفیع‌پور مطلق، م؛ اصلمند، علیرضا (۱۳۹۰). بررسی مسیرهای توفان‌های گرد و غبار بر روی ایران با بهکارگیری مدل-سازی عددی و تصاویر ماهواره‌ای (مطالعه موردی: ژوئن ۲۰۱۰). اولین کنگره بین‌المللی پدیده گرد و غبار و مقابله با آثار زیان‌بار آن.

.۲۸-۲۶

1 - Broomandi

2 - Liu

3 - Al-Jumaily and Ibrahim

4 - Francis

5 - Sissakian

اشرفی، خسرو؛ شفیع‌پور مطلق، مجید؛ اصلمند، علیرضا (۱۳۹۲). بررسی مسیرهای توفان‌های گرد و غبار بر روی ایران با به کارگیری مدل‌سازی عددی و تصاویر ماهواره‌ای. فصلنامه علمی محیط‌زیست، ش. ۵۶: ۱۲-۳.

آروین، عباسعلی؛ چراغی، صدیقه؛ چراغی، شهرام (۱۳۹۲). بررسی اثر گرد و غبار بر روند کمی و کیفی رشد نیشکر. نشریه پژوهش‌های جغرافیای طبیعی، ش. ۳: ۱۰۶-۹۵.

حنفی، علی؛ حاتمی، ایرج (۱۳۹۲). تهیه نقشه اقلیمی استان کردستان با سیستم اطلاعات جغرافیایی. فصلنامه سپهر، ش. ۸۷: ۲۸-۲۴.

ریوندی، ا.، میرکنی، م.، و محمدی‌ها، ا. (۱۳۹۲). بررسی تشکیل و انتشار طوفان‌های گرد و غبار در غرب و جنوب غرب ایران با استفاده از مدل پخش لاگرانژی ذرات HYSPLI. نشریه پژوهش‌های اقلیم‌شناسی، ۱۳(۱۴)، ۱-۱۶.

طاووسی، تقی؛ زهرا، اکبر (۱۳۹۲). مدل‌سازی سری‌های زمانی پدیده گرد و غبار شهر اهواز. فصلنامه تحقیقات جغرافیایی، ش. ۲: ۱۷۰-۱۵۹.

طوفان، مسعود (۱۳۸۹). چالش‌ها و چشم‌انداز همکاری‌های منطقه‌ای در مهار ریزگردها. فصلنامه سیاست خارجی، ش. ۴: ۹۵۸-۹۴۳.

عزیزی، قاسم؛ میری، مرتضی؛ نبوی، سید امید (۱۳۹۱). ریابی پدیده گرد و غبار در نیمه غربی ایران. فصلنامه مطالعات جغرافیایی مناطق خشک، ش. ۷: ۱۱۸-۱۰۳.

علی‌آبادی، کاظم، اسدی زنگنه، محمدعلی، داداشی روبداری، عباسعلی (۱۳۹۴). ارزیابی و پایش توفان گرد و غبار با استفاده از روش‌های سنجش از دور (مطالعه موردی: غرب و جنوب غرب ایران)، امداد و نجات، ۱: ۲۰-۱.

علیجانی، بهلول (۱۳۷۶). آب و هوای ایران. چاپ سوم. انتشارات دانشگاه پیام نور تهران.

علیجانی، بهلول؛ رئیس‌پور، کوهزاد (۱۳۹۰). تحلیل آماری، همدیدی طوفان‌های گرد و خاک در جنوب شرق ایران (مطالعه موردی: منطقه سیستان). نشریه مطالعات جغرافیایی مناطق خشک، سال دوم، شماره پنجم، ۱۳۲-۱۰۷.

قویدل رحیمی، یوسف (۱۳۹۰). کاربرد شاخص‌های ناپایداری جوی برای آشکارسازی و تحلیل دینامیک توفان تندri روز ۵ اردیبهشت ۱۳۸۹ تبریز. فصلنامه علمی - پژوهشی فضای جغرافیایی اهر، ش. ۳۴: ۲۰۸-۱۸۲.

لشکری، حسن؛ کیخسروی، قاسم (۱۳۸۷). تحلیل آماری سینوپتیکی توفان‌های گرد و غبار استان خراسان رضوی در فاصله زمانی ۱۹۹۳-۲۰۰۵. پژوهش‌های جغرافیایی طبیعی، ش. ۶۵: ۳۳-۱۷.

محمدی مرادیان، جمیله؛ حسین‌زاده، سیدرضا (۱۳۹۴). پایش ماهواره‌ای و تحلیل همدید پدیده گرد و غبار در کلان‌شهر مشهد طی دوره آماری ۲۰۱۳-۲۰۰۹. جغرافیا و مخاطرات محیطی، ش. ۱۴: ۵۷-۳۵.

محمدی، فهیمه؛ کمالی، سمیه؛ اسکندری، مریم (۱۳۹۴). ریابی منابع گرد و غبار در سطوح مختلف جو تهران با استفاده از مدل HYSPLIT. جغرافیا و مخاطرات محیطی، ش. ۱۶: ۵۴-۳۹.

مفیدی، عباس؛ جعفری، سجاد (۱۳۹۰). بررسی نقش گردش منطقه‌ای جو بر روی خاورمیانه در وقوع توفان‌های گرد و غباری تابستانه در جنوب غرب ایران. مجله مطالعات جغرافیایی مناطق خشک، ۵: ۴۵-۱۷.

مفیدی، عباس؛ کمالی، سمیه (۱۳۹۱). بررسی و تحلیل ساختار توفان‌های گرد و غباری در دشت سیستان با استفاده از مدل اقلیمی مقیاس منطقه‌ای RegCM4؛ مطالعه موردی ۳۰ جولای ۲۰۰۱، اولین همایش ملی بیانان، تهران، مرکز تحقیقات بین‌المللی بیانان دانشگاه تهران،

مفیدی، عباس؛ کمالی، سمیه؛ زرین، آذر (۱۳۹۲). ارزیابی توان مدل RegCM4 پیوند خورده با طرح واره غبار در آشکارسازی ساختار توفان‌های گرد و غباری تابستانه در دشت سیستان. فصلنامه جغرافیا (برنامه‌ریزی منطقه‌ای)، ۳: ۶۹-۵۱.

*Abdi Vishkaee, F., Flamant, J., Cuesta, P., Flamant, Khalesifard, H.R. (2011). Multiplatform observations of dust vertical distribution during transport over northwest Iran in the summertime. Journal of Geophysical Research. 116, 1-13.*

*Al-Jumaily, K.J. and Ibrahim, M.K., 2013. Analysis of synoptic situation for dust storms in Iraq. Int. J. Energ. Environ5, pp.851-858.*

- Broomandi, P., Dabir, B., Bonakdarpour, B. and Rashidi, Y., 2017. Identification of dust storm origin in South-West of Iran. *Journal of Environmental Health Science and Engineering* 1,16.
- Chun, Y.S., Boo, K.O., Kim, J., Park, S., Lee, M., (2001). Synopsis, Transport and Physical Characteristics of Asian Dust in Korea. *Journal of Geophysical Research.*, 106.,18461-18469.
- Draxler, R., Stunder, B., Rolph, G., Stein, A., & Taylor, A. (2009). HYSPLIT4 user's guide, 4, 1-231.
- Engelstadler, S. (2001). *Dust storm frequencies and their relationships to land surface conditions*. Freidrich-Schiller university press, Jena.Germany. 26.
- Escudero, M., Stein, A., Draxler, R.R., Querol, X., Alastuey, A., Castillo, S., & Avila, A. (2006). Determination of the contribution of northern Africa dust source areas to PM10 concentrations over the central Iberian Peninsula using the Hybrid Single-Particle Lagrangian Integrated Trajectory model (HYSPLIT) model. *Journal of Geophysical Research.* 111.
- Francis, D.B.K., Flamant, C., Chaboureau, J.P., Banks, J., Cuesta, J., Brindley, H. and Oolman, L., 2017. Dust emission and transport over Iraq associated with the summer Shamal winds. *Aeolian Research* 24, 15-31.
- Goudie, A., Mideleton, NJ. (2006). *Desert dust in the global system*. Springer, Heidelberg. 1-90.
- Liu, X., Yin, Z.Y., Zhang, X. and Yang, X., 2004. Analyses of the spring dust storm frequency of northern China in relation to antecedent and concurrent wind, precipitation, vegetation, and soil moisture conditions. *Journal of Geophysical Research: Atmospheres*, 109(D16).
- Prospero, J.M., Ginoux, P., Torres, O., Nicholson, S.E., & Gill, T. E. (2002). Environmental Characterization of Global Sources of Atmospheric Soil Dust Identified with the NIMBUS7 Total Ozone Mapping Spectrometer (TOMS) Absorbing Aerosol Product. *Journal of American Geophysical Union.* 40, 2-31.
- Shan, W., Yin, Y., Lu, H., & Liang, S. (2009). A meteorological analysis of ozone episodes using HYSPLIT model and surface data. *Atmospheric Research.* 93, 767–776.
- Sissakian, V., Al-Ansari, N. and Knutsson, S., 2013. Sand and dust storm events in Iraq. *Journal of Natural Science* 10, 1084-1094.
- Wang, W. (2005). A synoptic model on East Asian dust emission and Transport. *Atmospheric science and air quality conference, Beijing. China*.
- Weihong, Q., Lingshen, Q., Shaoyin, S. (2001). Variations of the Dust Storm in China and its Climatic Control, *Journal of Climate*26, 2327-2339.